

Применение топологических свойств геодезических засечек дает возможность классифицировать засечки, построить все виды засечек, описываемых данным графом, найти общую задачу для данного класса засечек.

**Список литературы:** 1. Баран П. И., Радов С. Г. Общее решение задач определения пары точек методом взаимной обратной засечки. — Геодезия и картография, 1976, № 6. 2. Коробков С. А. Применение теории графов в геодезии. М., Недра, 1976. 3. Теория графов/Белов В. В. и др. М., Высшая школа, 1976.

Работа поступила в редакцию 20 декабря 1977 г. Рекомендована кафедрой геодезии Коммунарского горно-металлургического института.

УДК 528.412

С. Г. РАДОВ

Коммунарский горно-металлургический институт

## ОБЩЕЕ РЕШЕНИЕ ЛИНЕЙНО-УГЛОВЫХ ЗАСЕЧЕК

Автономные методы определения положения геодезических пунктов, широко применяемые на практике, дают значительный экономический эффект. Линейные, прямые и обратные угловые засечки и их комбинации используют при производстве привязочных, съемочных и разбивочных работ, при исполнительной съемке и наблюдениях за деформациями инженерных сооружений. Измерение расстояний между определяемыми пунктами повышает точность угловых засечек и дает возможность построить различные схемы линейно-угловых засечек (ЛУЗ). В литературе вопрос о точности ЛУЗ освещен недостаточно полно, а решение ЛУЗ трех пунктов Т. Кляйнера [4] громоздко и неудобно для применения. В данной работе дается общее решение ЛУЗ (рис. 1) с оценкой точности определения положения искомых пунктов.

Рассмотрим решение ЛУЗ (рис. 1, a), в которых измерены горизонтальные углы  $\beta_1$ ,  $\beta_2$ ,  $\beta_3$  и  $\beta_4$  на определяемых пунктах  $p_1$ ,  $p_2$ ,  $p_3$  и расстояния между ними  $s_1$  и  $s_2$ . Длины  $a_i$  и дирекционные углы  $\alpha_i$  сторон между  $i$  исходными и  $p_i$  определяемыми пунктами

$$\left. \begin{aligned} a_1 &= \frac{s_1 \sin \beta_2 - b_1 \sin \delta_2}{\sin (\beta_1 + \beta_2)} \\ \alpha_1 &= \alpha_{1-2} + \delta_1 \end{aligned} \right\}; \quad (1)$$

$$\left. \begin{aligned} a_2 &= \frac{s_1 \sin \beta_1 - b_1 \sin \delta_1}{\sin (\beta_1 + \beta_2)} = \frac{s_2 \sin \beta_4 - b_2 \sin \delta_4}{\sin (\beta_3 + \beta_4)} \\ \alpha_2 &= \alpha_{2-1} - \delta_2 = \alpha_{2-3} + \delta_3 \end{aligned} \right\}; \quad (2)$$

$$\left. \begin{aligned} a_3 &= \frac{s_2 \sin \beta_3 - b_2 \sin \delta_3}{\sin (\beta_3 + \beta_4)} \\ \alpha_3 &= \alpha_{3-2} - \delta_4 \end{aligned} \right\}, \quad (3)$$

где  $\alpha_{i-j}$  — дирекционные углы сторон между  $i$  и  $j$  исходными пунктами;  $b_1$  и  $b_2$  — расстояния между исходными пунктами 1—2 и 2—3;  $\delta_i$  — горизонтальные углы при исходных пунктах.

При определении расстояний  $a_i$  использованы формулы для вычисления сторон четырехугольников без диагоналей [2]. Угол  $\delta_i$  найдем из формул (2), для чего преобразуем их к виду

$$s_1 \sin \beta_1 - b_1 \sin \delta_1 - s_2 \sin \beta_4 \frac{\sin(\beta_1 + \beta_2)}{\sin(\beta_3 + \beta_4)} + \\ + b_2 \sin \delta_4 \frac{\sin(\beta_1 + \beta_2)}{\sin(\beta_3 + \beta_4)} = 0; \quad (4) \quad \delta_2 + \delta_3 = \alpha_{2-1} - \alpha_{2-3}. \quad (5)$$

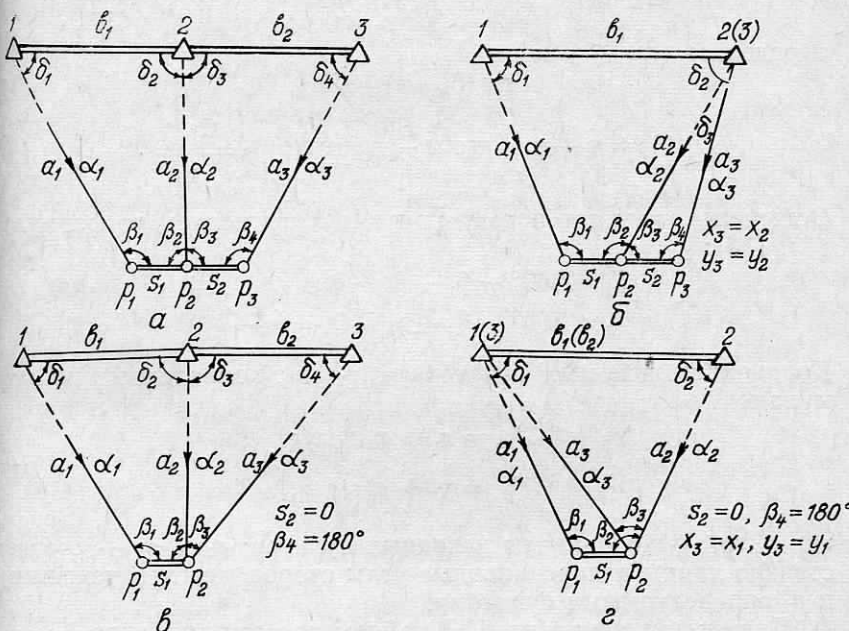


Рис. 1. Схемы линейно-угловых засечек.

Обозначим

$$k = \frac{\sin(\beta_1 + \beta_2)}{\sin(\beta_3 + \beta_4)}; \quad (6) \quad \omega = \alpha_{2-1} - \alpha_{2-3} \quad (7)$$

и из равенства  $\sum_{i=1}^4 \beta_i + \sum_{i=1}^4 \delta_i = 720^\circ$  получим

$$\delta_4 = \theta - \delta_1, \quad (8) \quad \text{где } \theta = 720^\circ - \sum_{i=1}^4 \beta_i - \omega. \quad (9)$$

С учетом уравнений (6) и (8) формула (4) примет вид

$$(b_1 + b_2 k \cos \theta) \sin \delta_1 - b_2 k \sin \theta \cos \delta_1 - s_1 \sin \beta_1 + s_2 k \sin \beta_4 = 0. \quad (10)$$

Полагая, что

$$\left. \begin{array}{l} A = b_1 + b_2 k \cos \theta; \\ B = b_2 k \sin \theta; \\ C = s_1 \sin \beta_1 - s_2 k \sin \beta_4; \end{array} \right\} \quad (11)$$

получаем уравнение

$$A \sin \delta_1 - B \cos \delta_1 - C = 0. \quad (12)$$

Разделив его на  $\sqrt{A^2 + B^2}$  и приняв, что

$$\cos \varphi = \frac{A}{\sqrt{A^2 + B^2}}; \quad \sin \varphi = \frac{B}{\sqrt{A^2 + B^2}}; \quad \sin \gamma = \frac{C}{\sqrt{A^2 + B^2}}, \quad (13)$$

определим

$$\sin(\delta_1 - \varphi) = \sin \gamma, \quad (14)$$

откуда

$$\delta_1 = \varphi + \gamma = \operatorname{arctg} \frac{B}{A} + \operatorname{arc} \sin \frac{C}{\sqrt{A^2 + B^2}}. \quad (15)$$

Остальные углы при исходных пунктах вычисляем по формулам (8), (16):

$$\left. \begin{array}{l} \delta_2 = 360^\circ - \beta_1 - \beta_2 - \delta_1; \\ \delta_3 = 360^\circ - \beta_3 - \beta_4 - \delta_4 = \omega - \delta_2. \end{array} \right\} \quad (16)$$

Координаты искомых пунктов  $p_1$ ,  $p_2$  и  $p_3$  определяем по формулам

$$\left. \begin{array}{l} X_{p_i} = x_i + a_i \cos \alpha_i; \\ Y_{p_i} = y_i + a_i \sin \alpha_i; \end{array} \right\} \quad (17)$$

где  $x_i$ ,  $y_i$  — координаты исходных пунктов;  $a_i$  и  $\alpha_i$  — соответственно длины и дирекционные углы сторон между  $i$  исходными и  $p_i$  определяемыми пунктами.

Для оценки точности ЛУЗ найдем погрешность угла  $\delta_1$ :

$$m_{\delta_1} = \rho'' \sqrt{F_A^2 m_A^2 + F_B^2 m_B^2 + F_C^2 m_C^2}, \quad (18)$$

где  $\rho'' = 206265''$  — число секунд в радиане.

Частные производные  $F_A$ ,  $F_B$  и  $F_C$  от функции (15) по аргументам  $A$ ,  $B$  и  $C$  вычисляем по формулам

$$\left. \begin{array}{l} F_A = -\frac{1}{A} \frac{\cos \varphi}{\cos \gamma} \sin \delta_1; \\ F_B = \frac{1}{A} \frac{\cos \varphi}{\cos \gamma} \cos \delta_1; \\ F_C = \frac{1}{A} \frac{\cos \varphi}{\cos \gamma}. \end{array} \right\} \quad (19)$$

По известной методике определения погрешности функций измеренных величин найдем погрешности вычисления  $A$ ,  $B$  и  $C$  (11), считая аргументами измеренные углы  $\beta_1$ ,  $\beta_2$ ,  $\beta_3$ ,  $\beta_4$  и расстояния  $s_1$  и  $s_2$ :

$$m_A = \sqrt{2} b_2 k \frac{m_\beta''}{\rho''} \sqrt{\frac{\cos^2 [\theta - (\beta_1 + \beta_2)]}{\sin^2 (\beta_1 + \beta_2)} + \frac{\cos^2 [\theta + (\beta_3 + \beta_4)]}{\sin^2 (\beta_3 + \beta_4)}}, \quad (20)$$

$$m_B = \sqrt{2} b_2 k \frac{m_\beta''}{\rho''} \sqrt{\frac{\sin^2 [\theta - (\beta_1 + \beta_2)]}{\sin^2 (\beta_1 + \beta_2)} + \frac{\sin^2 [\theta + (\beta_3 + \beta_4)]}{\sin^2 (\beta_3 + \beta_4)}}, \quad (21)$$

$$\begin{aligned} m_C = & \sqrt{\{[s_1 \cos \beta_1 - N \operatorname{ctg}(\beta_1 + \beta_2)]^2 + N^2 \operatorname{ctg}^2(\beta_1 + \beta_2) + \\ & + [s_2 \cos \beta_4 - N \operatorname{ctg}(\beta_3 + \beta_4)]^2\} \times \\ & \times \frac{m_\beta^2}{\rho^2} + (M^2 + N^2) \left( \frac{m_s}{s} \right)^2}, \end{aligned} \quad (22)$$

где  $M = s_1 \sin \beta_1$ ;  $N = s_2 k \sin \beta_4$ ;  $m_\beta''$  (23) — погрешность измерения углов;  $m_s/s$  — относительная погрешность измерения расстояний  $s_1$  и  $s_2$ .

Анализ полученных формул (19), (20), (21) и (22) показывает, что: а) при  $(\beta_1 + \beta_2) = 180^\circ$  или  $(\beta_3 + \beta_4) = 180^\circ$  ЛУЗ не имеет решения; б) при  $\gamma = 0^\circ$   $F_A = \min$ ,  $F_B = \min$ ,  $F_C = \min$ ; в) при  $(\beta_1 + \beta_2) = (\beta_3 + \beta_4) = 270^\circ$   $m_A = \min$ ,  $m_B = \min$ ,  $m_C = \min$ .

Для практического использования формул (20), (21) и (22) введем обозначения:

$$\left. \begin{aligned} T_1 &= \frac{\cos [\theta - (\beta_1 + \beta_2)]}{\sin (\beta_1 + \beta_2)}; & T_2 &= \frac{\cos [\theta + (\beta_3 + \beta_4)]}{\sin (\beta_3 + \beta_4)}; \\ T_3 &= \frac{\sin [\theta - (\beta_1 + \beta_2)]}{\sin (\beta_1 + \beta_2)}; & T_4 &= \frac{\sin [\theta + (\beta_3 + \beta_4)]}{\sin (\beta_3 + \beta_4)}; \\ T_5 &= \sqrt{[\operatorname{ctg} \beta_1 - \operatorname{ctg}(\beta_1 + \beta_2)]^2 + \operatorname{ctg}^2(\beta_1 + \beta_2)}; \\ T_6 &= \sqrt{[\operatorname{ctg} \beta_4 - \operatorname{ctg}(\beta_3 + \beta_4)]^2 + \operatorname{ctg}^2(\beta_3 + \beta_4)}. \end{aligned} \right\} \quad (24)$$

С учетом уравнений (19) и (24) погрешность определения угла  $\delta_1$

$$m_{\delta_1} = \frac{\rho'' \cos \Phi}{A \cos \gamma} \sqrt{m_A^2 \sin^2 \delta_1 + m_B^2 \cos^2 \delta_1 + m_C^2}, \quad (25)$$

где

$$m_A = \sqrt{2} b_2 k \frac{m_\beta''}{\rho''} \sqrt{T_1^2 + T_2^2}; \quad m_B = \sqrt{2} b_2 k \frac{m_\beta''}{\rho''} \sqrt{T_3^2 + T_4^2};$$

$$m_C \approx N \sqrt{(T_5^2 + T_6^2) \frac{m_\beta^2}{\rho^2} + 2 \left( \frac{m_s}{s} \right)^2}. \quad (26)$$

Величины  $T_1^2$ ,  $T_2^2$ ,  $T_3^2$  и  $T_4^2$  определяем графически по соответствующей им сумме углов  $z = (\beta_1 + \beta_2)$  или  $z = (\beta_3 + \beta_4)$  (рис. 2), для чего в зависимости от значения угла  $\Theta$  по таблице находим номер кривой и аргумент  $z_1$  или  $z_2$ . Например, при  $\Theta = 60^\circ$   $T_1^2$  определяется по кривой 4 и аргументу  $z_1$ , а  $T_2^2$  — по кривой 4 и аргументу  $z_2$ . При  $(\beta_1 + \beta_2) = (\beta_3 + \beta_4) = 255^\circ$   $T_1^2 = 1,0$ , а  $T_2^2 = 0,5$  (рис. 2). Если угол  $\Theta$  не соответствует табличным значениям, то величины  $T_i^2$  ( $i=1, 2, 3, 4$ ) определяются интерполяцией.

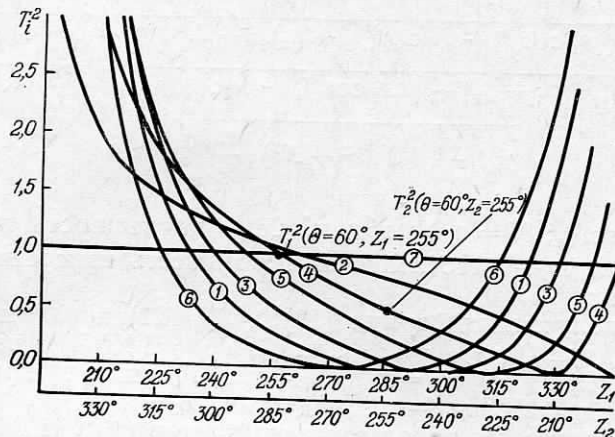


Рис. 2. График изменения величин  $T_1^2$ ,  $T_2^2$ ,  $T_3^2$  и  $T_4^2$

Величины  $T_5^2$  и  $T_6^2$  определяем по соответствующим им аргументам  $\beta_i = \beta_1$  или  $\beta_4$  и  $z = (\beta_1 + \beta_2)$  или  $(\beta_3 + \beta_4)$  (рис. 3). Например, при  $\beta_1 = 120^\circ$ ,  $z = (\beta_1 + \beta_2) = 255^\circ$ ,  $T_5^2 = 0,8$ .

#### Определение коэффициентов $T_1^2$ , $T_2^2$ , $T_3^2$ и $T_4^2$

Коэффициент	$\Theta = 30^\circ$	$\Theta = 45^\circ$	$\Theta = 60^\circ$	$\Theta = 75^\circ$	$\Theta = 90^\circ$	$\Theta = 105^\circ$	$\Theta = 120^\circ$	$\Theta = 135^\circ$	$\Theta = 150^\circ$	$\Theta = 165^\circ$		
	кривая	$z$	кривая	$z$	кривая	$z$	кривая	$z$	кривая	$z$	кривая	$z$
$T_1^2$	3	1	5	1	4	1	2	1	7	1	2	2
$T_2^2$	3	2	5	2	4	2	2	2	7	1	2	1
$T_3^2$	4	2	5	2	3	2	1	2	6	1	1	1
$T_4^2$	4	1	5	1	3	1	1	1	6	1	1	2

В частных случаях ЛУЗ погрешность  $m_c$  может вычисляться по формулам: а) при  $\beta_1 = 180^\circ$

$$m_C = N \sqrt{\left[ \frac{s_1}{N} - \operatorname{ctg} \beta_2 \right]^2 + \operatorname{ctg}^2 \beta_2 + T_6^2 \left( \frac{m_\beta^2}{\rho^2} + \left( \frac{m_s}{s} \right)^2 \right)}; \quad (27)$$

б) при  $\beta_4 = 180^\circ$

$$m_C = \sqrt{(s_1^2 \cos^2 \beta_1 + k^2 s_2^2) \frac{m_\beta^2}{\rho^2} + M^2 \left( \frac{m_s}{s} \right)^2}; \quad (28)$$

в) при  $\beta_1 = \beta_4 = 180^\circ$

$$m_C = \frac{m''_\beta}{\rho''} \sqrt{s_1^2 + k^2 s_2^2}. \quad (29)$$

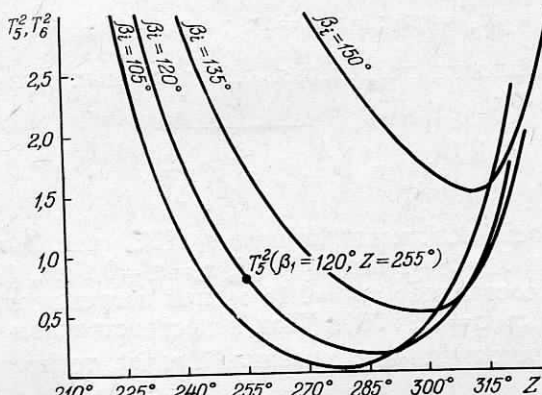


Рис. 3. График изменения величин  $T_5^2$  и  $T_6^2$ .

Погрешности определения остальных углов при исходных пунктах

$$\left. \begin{aligned} m_{\delta_2} &= m_{\delta_3} = \sqrt{2m_\beta^2 + m_{\delta_1}^2 + 2m_\beta m_{\delta_1}(r_1 + r_2)}; \\ m_{\delta_4} &= \sqrt{4m_\beta^2 + m_{\delta_1}^2 + 2m_\beta m_{\delta_1}(r_1 + r_2 + r_3 + r_4)}, \end{aligned} \right\} \quad (30)$$

где  $r_1 = -0,125$ ;  $r_2 = -0,10$ ;  $r_3 = -0,10$ ;  $r_4 = -0,06$  — коэффициенты корреляционной зависимости между измеряемыми величинами соответственно  $\beta_1$ ,  $\beta_2$ ,  $\beta_3$ ,  $\beta_4$  и углом  $\delta_1$ , вычисленные методом математического моделирования на ЭВМ.

Расстояние  $a_2$  находим с погрешностью

$$\begin{aligned} m_{a_2} = \sqrt{ & (f_1^2 + f_2^2) \frac{m_\beta^2}{\rho^2} + f_3^2 \left( \frac{m_s}{s} \right)^2 s_1^2 + f_4^2 \frac{m_{\delta_1}^2}{\rho^2} + } \\ & + 2f_4(f_1 r_1 + f_2 r_2) \frac{m_\beta m_{\delta_1}}{\rho^2}, \end{aligned} \quad (31)$$

где  $f_i$  — частные производные функции (2), вычисляемые по формулам:

$$f_1 = s_1 \frac{\cos \beta_1}{\sin(\beta_1 + \beta_2)} - a_2 \operatorname{ctg}(\beta_1 + \beta_2); \quad f_3 = \frac{\sin \beta_1}{\sin(\beta_1 + \beta_2)}; \\ f_2 = -a_2 \operatorname{ctg}(\beta_1 + \beta_2); \quad f_4 = -b_1 \frac{\cos \delta_1}{\sin(\beta_1 + \beta_2)}. \quad (32)$$

Аналогично можно вычислить погрешности определения расстояний  $a_1$  и  $a_3$ . В формуле (31) не учтены коэффициенты корреляционной зависимости между  $s_1$ ,  $s_2$  и  $\delta_1$ , так как они пренебрежимо малы и составляют  $r = -0,005$ .

Учитывая, что погрешности  $m_{\alpha_i}$  дирекционных углов  $\alpha_i$

$$m_{\alpha_1} = m_{\delta_1}; \quad m_{\alpha_2} = m_{\delta_2}; \quad m_{\alpha_3} = m_{\delta_3}, \quad (33)$$

найдем погрешности положения определяемых пунктов  $p_1$ ,  $p_2$  и  $p_3$  по формуле

$$m_{p_i} = \sqrt{m_{a_i}^2 + a_i^2 \frac{m_{\alpha_i}^2}{\rho^2}}. \quad (34)$$

Так, погрешность положения пункта  $p_2$  ЛУЗ (рис. 1, а) с исходными данными  $b_1 = b_2 = 2$  км,  $\omega = 180^\circ$ ,  $s_1 = s_2 = 0,2$  км,  $\beta_1 = \beta_4 = 135^\circ$  и  $\beta_2 = \beta_3 = 90^\circ$  составляет  $m_{p_2} = 0,16$  м при погрешностях измерений  $m_{\beta} = 5''$  и  $m_s/s = 1/25\,000$ . (При непосредственном измерении угла  $\delta_2$  и расстояния  $a_2$  с указанной выше точностью  $m_{p_2}' = 0,085$  м).

Для повышения точности ЛУЗ и контроля полевых измерений необходимо отнаблюдать дополнительные направления на исходные пункты. Уравнивание ЛУЗ целесообразно выполнять параметрическим методом, вычисляя при этом поправки в приближенные координаты определяемых пунктов. В этом случае точность определения положения пунктов  $p_1$ ,  $p_2$  и  $p_3$  можно найти, построив эллипсы погрешностей.

Остальные ЛУЗ, показанные на рис. 1, являются частными случаями рассмотренной задачи, что позволяет решать их на ЭВМ по общей программе. Особенности ввода исходной информации указаны на рис. 1 для каждой схемы ЛУЗ. Например, для определения положения двух пунктов  $p_1$  и  $p_2$  по трем исходным способом ЛУЗ (рис. 1, в) принимаем, что  $s_2 = 0$  и  $\beta_4 = 180^\circ$ .

ЛУЗ можно применять для отыскания утраченных центров [1], для определения координат пунктов съемочного обоснования и плановых опознавателей. Применение ЛУЗ для привязки строительных сеток и других специальных геодезических сетей к исходным пунктам значительно сокращает объем полевых и камеральных работ и дает возможность исключить влияние погрешностей исходных данных на точность взаимного положения пунктов привязываемой сети.

Применение ЛУЗ, как и обратных угловых засечек, имеет ряд достоинств [3]:

- использование хорошо видимых, но труднодоступных исходных пунктов;
- наблюдение минимального числа направлений на исходные пункты;
- возможность создания сетей из различных схем ЛУЗ;
- незначительный объем полевых и камеральных работ;
- вычисление координат пунктов на ЭВМ по общей программе.

В заключение можно отметить, что линейно-угловые засечки могут широко применяться при различных видах геодезических работ. Приведенные формулы позволяют в каждом конкретном случае произвести расчет точности проектируемой ЛУЗ и выбрать оптимальную точность измерений углов и длин линий. Контролировать положения пунктов  $p_1$ ,  $p_2$  и  $p_3$  можно, наблюдая дополнительные направления на исходные пункты, создавая сети из различных схем ЛУЗ и их комбинаций с обратными угловыми засечками и т. п.

**Список литературы:** 1. Высшая геодезия/Зданович В. Г. и др. М., Недра, 1970. 2. Зубрицкий И. В. Теоретические основы построения геодезических сетей из четырехугольников. — Тр./БСХА., 1952, т. 18. 3. Павлов В. Ф. О применении систем обратных засечек. — Геодезия и картография, 1972, № 2. 4. Kleiner Th. Rüchwärtschnitt für drei Punkte. — Vermessungstechnik Rundschau, 1963, т. 25, № 2.

Работа поступила 21 декабря 1977 года.  
Рекомендована кафедрой геодезии Коммунарского горно-металлургического института.

УДК 625.72:528.486

В. И. РУДСКИЙ, канд. техн. наук  
Полтавский инженерно-строительный институт

## ДЕТАЛЬНАЯ РАЗБИВКА КРУГОВОЙ КРИВОЙ

При детальной разбивке кривой плотность размещения точек на ней, независимо от способа разбивки, обусловлена выбором длины элементарной дуги. Заменяя эту дугу прямой (хордой), при сооружении дорожного полотна на закруглении необходимо, чтобы максимальное удаление ее от кривой не превышало определенной величины.

Рекомендуемые нормативной литературой длины элементарных дуг (5, 10, 20 м) для соответствующих радиусов закруглений приводятся без теоретического обоснования.

Рассмотрим несколько подробнее вопрос выбора длины элементарной дуги кривой.

На рис. 1  $k$  — длина элементарной кривой радиуса  $R$ ;  $l$  — хорда, стягивающая эту дугу;  $\Delta$  — стрелка (величина отклонения хорды от кривой).